

ISSN 0320-7102

262  
262  
Том  
43

# АВТОМЕТРИЯ

OPTOELECTRONICS, INSTRUMENTATION AND DATA PROCESSING

№ 6  
2007

---

2007, том 43, № 6

УДК 621.391

**ОЦЕНКА СКОРОСТИ ДВИЖЕНИЯ ИЗОБРАЖЕНИЯ ОБЪЕКТА  
ПРИ НАЛИЧИИ ФОНА\***

**А. П. Трифонов, Р. В. Куцов**

*Воронежский государственный университет, г. Воронеж*  
E-mail: trif@phys.vsu.ru

Выполнены синтез и анализ максимально правдоподобных алгоритмов измерения скорости движения изображения пространственно протяженного объекта при различном объеме априорной информации относительно интенсивностей изображения объекта и фона. Работоспособность алгоритмов и границы применимости найденных асимптотических выражений для характеристик оценок скорости установлены с помощью статистического моделирования на ЭВМ.

**Введение.** В процессе обработки результатов дистанционного наблюдения часто возникает необходимость в измерении скорости движения объектов по их изображениям. Обычно объекты наблюдаются на некоторой подстилающей поверхности, и сигнал, рассеянный этой поверхностью, представляет собой фоновое излучение (фон). Функционирование измерительных систем в реальных условиях сопровождается шумами, имеющими различную физическую природу, поэтому в задачи системы наблюдения входят одновременно компенсация пространственно-временного шума и выделение объекта на мешающем фоне. Высокая разрешающая способность современных систем дистанционного наблюдения приводит к необходимости учета эффекта затенения пространственно протяженным объектом (ППО) части подстилающей поверхности [1–4].

В работе [5] рассмотрен эвристический метод измерения координат и скорости движения объекта по изменениям положения и размеров его оптического изображения. Предложенные в [6] алгоритмы оценки скорости движения объектов по их изображениям работоспособны лишь при слабых случайных искажениях. Остается открытым вопрос об оптимальности алгоритмов, и не удается выполнить теоретический анализ эффективности функционирования. Кроме того, обычно интенсивности изображения объекта и фона априори неизвестны, а их оценка производится по наблюданной реализации. В связи с этим необходимо найти структуру и характеристики опти-

---

\* Работа выполнена при поддержке Российского фонда фундаментальных исследований (проекты № 06-07-96301 и № 07-01-00042).

мальных алгоритмов оценки скорости движения ППО при наличии шума, наиболее распространенной моделью которого является аддитивный гауссовский белый шум.

Целью предлагаемой работы является синтез и анализ максимально правдоподобных алгоритмов измерения скорости движения изображения ППО при различном объеме априорной информации относительно интенсивностей изображения объекта и фона.

**Оценка скорости движения детерминированного объекта, наблюдаемого на детерминированном фоне.** Пусть в двумерной области  $\Omega$  в течение интервала времени  $[0, T]$  доступна наблюдению реализация гауссовского случайного поля  $x(\mathbf{r}, t)$ , где  $\mathbf{r} = (x, y)$  – радиус-вектор точки на плоскости, принадлежащей  $\Omega$ , а  $t$  – время. Положим [2], что поле  $x(\mathbf{r}, t)$  содержит изображение  $s(\mathbf{r} - \mathbf{V}_0 t)$  движущегося из заданного положения в заданном направлении со скоростью  $\mathbf{V}_0$  объекта, неподвижный фон  $v(\mathbf{r})$  и аддитивный гауссовский пространственно-временной белый шум  $n(\mathbf{r}, t)$  с нулевым математическим ожиданием и корреляционной функцией

$$\langle n(\mathbf{r}_1, t_1) n(\mathbf{r}_2, t_2) \rangle = N_0 \delta(\mathbf{r}_1 - \mathbf{r}_2) \delta(t_1 - t_2) / 2,$$

где  $N_0$  – односторонняя спектральная плотность белого шума. Направим ось  $X$  прямоугольной системы координат вдоль вектора скорости  $\mathbf{V}_0$ , при этом  $\mathbf{V}_0 = V_0 \mathbf{i}_x$ , где  $\mathbf{i}_x$  – орт оси  $X$ . Будем считать, что скорость движения объекта  $V_0$  принимает значения из априорного интервала  $W = [-V_{\max}/2, V_{\max}/2]$ .

В соответствии с аппликативной моделью [1–4], учитывающей эффекты затенения объектом участка фона, полагаем, что изображение объекта занимает часть  $\Omega_s$  области  $\Omega$ , а фоновое излучение формируется оставшейся частью области наблюдения. Будем считать, что разрешающая способность системы наблюдения достаточно велика, так что размеры неоднородностей объекта и фона велики по сравнению с размерами элемента разрешения. Тогда в течение интервала времени  $[0, T]$  наблюдению доступна реализация изображения в картинной плоскости

$$x(\mathbf{r}, t) = s(\mathbf{r} - \mathbf{V}_0 t) I_s(\mathbf{r} - \mathbf{V}_0 t) + v(\mathbf{r}) [1 - I_s(\mathbf{r} - \mathbf{V}_0 t)] + n(\mathbf{r}, t), \quad (1)$$

где  $I_s(\mathbf{r}) = 1$ , если  $\mathbf{r} \in \Omega_s$ , и  $I_s(\mathbf{r}) = 0$ , если  $\mathbf{r} \notin \Omega_s$ , – индикаторная функция, описывающая форму изображения объекта.

Оценка максимального правдоподобия (ОМП) скорости движения определяется как положение абсолютного (наибольшего) максимума логарифма функционала отношения правдоподобия (ФОП) [7, 8]:

$$\hat{V} = \arg \sup_{V \in W} L(V), \quad (2)$$

где

$$L(V) = \frac{2}{N_0} \int_0^T \int_{\Omega} \{x(\mathbf{r}, t)[s(\mathbf{r} - \mathbf{V}t) - v(\mathbf{r})] - [s^2(\mathbf{r} - \mathbf{V}t) - v^2(\mathbf{r})]/2\} I_s(\mathbf{r} - \mathbf{V}t) d\mathbf{r} dt \quad (3)$$

– логарифм ФОП [3], а  $\mathbf{V} = V \mathbf{i}_x$ .

Подставляя в (3) реализацию наблюдаемых данных (1), запишем логарифм ФОП в виде суммы сигнальной и шумовой функций [7]:

$$L(V) = \hat{S}(V, V_0) + \hat{N}(V) - \hat{S}(V, V)/2, \quad (4)$$

где

$$\begin{aligned} \hat{S}(V, V_0) = & \frac{2}{N_0} \int_0^T \iint_{\Omega} [s(x - Vt, y) - v(x, y)] \times \\ & \times [s(x - V_0 t, y) - v(x, y)] I_s(x - Vt, y) I_s(x - V_0 t, y) dx dy dt \end{aligned} \quad (5)$$

— сигнальная функция, а  $\hat{N}(V)$  — шумовая функция, являющаяся реализацией гауссовского случайного процесса с нулевым средним значением и корреляционной функцией  $\langle \hat{N}(V_1) \hat{N}(V_2) \rangle = \hat{S}(V_1, V_2)$ .

Величина  $z^2 = \hat{S}(V, V)$  представляет собой отношение сигнал/шум (ОСШ) на выходе приемника максимального правдоподобия [7, 8]. В общем случае ОСШ зависит от  $V$ , однако если фон постоянный (равномерный), то ОСШ от скорости не зависит. Кроме того, ОСШ практически не зависит от скорости, если объект и фон мелкотекстурные, т. е. за время наблюдения объект проходит расстояние, превышающее хотя бы в несколько раз размеры неоднородностей объекта и фона [2]. Далее будем считать, что ОСШ  $z^2$  от  $V$  не зависит, т. е. скорость является неэнергетическим параметром [7]. При этом сигнальная функция (5) достигает своего максимального значения  $z^2$  при  $V = V_0$ .

Положим далее, что объект и фон являются равномерными, т. е.  $s(r) = a_0$ ,  $v(r) = b_0$ . Тогда максимальное значение сигнальной функции (5)  $\hat{S}(V_0, V_0) = z^2 = 2(a_0 - b_0)^2 T G_s / N_0$ , где  $G_s$  — площадь изображения объекта, а нормированную сигнальную функцию можно записать в виде [4]

$$S(V, V_0) = \frac{1}{z^2} \hat{S}(V, V_0) = S(|\Delta V|) = \frac{1}{G_s T} \int_0^T \iint_{\Omega} I_s(x, y) I_s(x - |\Delta V| t, y) dx dy dt, \quad (6)$$

где  $\Delta V = V - V_0$ .

Далее будем считать, что  $\Omega_s$  — односвязная конечная область с кусочно-гладкой границей  $\Gamma$  и любая прямая, параллельная направлению движения, пересекает границу  $\Gamma$  не более чем в двух точках. Области такого вида назовем областями типа  $K_V$  [4]. Как показано в [4], при  $|\Delta V| \rightarrow 0$  сигнальная функция (6) допускает асимптотическое представление

$$S(|\Delta V|) = 1 - \delta |\Delta V| + o(|\Delta V|), \quad (7)$$

где  $\delta = l_V T / 2 G_s$ ,  $l_V$  — длина проекции области  $\Omega_s$  на ось  $Y$ , т. е. на направление, перпендикулярное направлению движения, а при  $|\Delta V| \rightarrow \infty$  имеем  $S(|\Delta V|) = O(|\Delta V|^{-1})$ . Кроме того, принадлежность области  $\Omega_s$  к типу  $K_V$  обеспечивает отсутствие боковых максимумов у сигнальной функции (6).

Учитывая, что ОСШ  $z^2$  не зависит от скорости, вместо  $L(V)$  (4) введем нормированный член логарифма ФОП, зависящий от скорости:

$$L_z(V) = L(V)/z + z/2 = zS(V, V_0) + N(V).$$

Здесь  $N(V) = \dot{N}(V)/z$  – нормированная шумовая функция. При этом алгоритм оценки скорости (2) можно переписать в виде  $\hat{V} = \arg \sup_{V \in W} L_z(V)$ .

Определим размер элемента разрешения по скорости  $\Delta_V$  как полуширина сигнальной функции при замене ее треугольной аппроксимацией (7):  $\Delta_V = -1/\delta = 2G_s/l_V T$ . Тогда в априорной области  $W$  число разрешимых значений скорости  $m = V_{\max}/\Delta_V = TV_{\max}l_V/2G_s$ . Разобьем априорную область возможных значений скорости  $W$  на сигнальную  $W_S$  и шумовую  $W_N$  подобласти. К первой отнесем те значения  $V$ , для которых  $|V - V_0| \leq \Delta_V$ . Все остальные значения  $V$  отнесем к шумовой подобласти. В сигнальной подобласти оценка является надежной, а в шумовой имеют место аномальные ошибки [7, 8].

Точность оценки будем характеризовать безусловным рассеянием (средним квадратом ошибки) [8]. Учитывая свойства сигнальной функции и используя результаты [8], находим, что надежная оценка скорости движения объекта является условно несмещенной, а ее рассеяние  $B_0(\hat{V})$  совпадает с дисперсией  $D_0(\hat{V})$  и определяется выражением

$$B_0(\hat{V}) = D_0(\hat{V}) = 26G_s^2/z^4T^2l_V^2. \quad (8)$$

Определим вероятность надежной оценки  $P_0 = P[|\hat{V} - V_0| \leq \Delta_V]$ . Поскольку оценка скорости находится по положению максимума выходного сигнала приемника максимального правдоподобия, последнее выражение можно переписать как  $P_0 = P[M_N \leq M_S]$ , где  $M_N = \sup_{V \in W_N} L_z(V)$  и  $M_S = \sup_{V \in W_S} L_z(V)$  – величины абсолютных максимумов функции  $L_z(V)$  в шумовой и сигнальной подобластих, являющиеся приближенно статистически независимыми случайными величинами при  $m \gg 1$  [8]. Тогда

$$P_0 = \int F_N(x)dF_S(x), \quad (9)$$

где  $F_N(x)$  и  $F_S(x)$  – функции распределения величин  $M_N$  и  $M_S$  соответственно. Точные выражения для  $F_N(x)$  и  $F_S(x)$  неизвестны, однако в [8, 9] для этих функций получены асимптотические выражения

$$F_N(x) \approx \begin{cases} \exp[-mx \exp(-x^2/2)/\sqrt{2\pi}], & x \geq 1, \\ 0, & x < 1, \end{cases} \quad (10)$$

$$F_S(x) \approx \Phi(x - z) - 2\exp(3z^2/2 - zx)\Phi(x - 2z) + \exp(4z^2 - 2zx)\Phi(x - 3z), \quad (11)$$

где  $\Phi(x) = \int_{-\infty}^x \exp(-u^2/2)du/\sqrt{2\pi}$  – интеграл вероятности.

Точность аппроксимации (10) возрастает по мере увеличения  $x$  и  $m$ , а точность формулы (11) возрастает по мере увеличения  $x$  и  $z$ . Подставляя (10) и (11) в (9), находим асимптотическое выражение для вероятности надежной оценки:

$$P_0 = 2z \exp\left(\frac{3z^2}{2}\right) \int_1^\infty \exp\left[-\frac{mx}{\sqrt{2\pi}} \exp\left(-\frac{x^2}{2}\right)\right] \times \\ \times [\exp(-zx)\Phi(x-2z) - \exp(5z^2/2-2zx)\Phi(x-3z)]dx. \quad (12)$$

Из (12) следует, что вероятность надежной оценки  $P_0$  в рассматриваемом приближении не зависит от истинного значения скорости  $V_0$ . При равномерном априорном распределении возможных значений скорости в области  $W$  получаем безусловно несмещенную оценку скорости при наличии аномальных ошибок, т. е.  $b(\hat{V}) = \langle \hat{V} - V_0 \rangle = 0$ , а ее рассеяние определяется выражением [8]

$$B(\hat{V}) = \langle (\hat{V} - V_0)^2 \rangle = P_0 B_0(\hat{V}) + (1 - P_0) V_{\max}^2 / 6, \quad (13)$$

где  $B_0(\hat{V})$  – рассеяние надежной оценки скорости (8), совпадающее с дисперсией надежной оценки. Подставляя (8) и (12) в (13), получим безусловное рассеяние оценки скорости с учетом аномальных ошибок

$$B(\hat{V}) = B_{\max}(39P_0/z^4m^2 + 1 - P_0), \quad (14)$$

где  $B_{\max} = V_{\max}^2/6$  – максимальное рассеяние оценки скорости. Формулы (12) и (14) являются асимптотически точными при  $z \rightarrow \infty$  и  $m \rightarrow \infty$ .

**Оценка скорости движения изображения объекта с неизвестной интенсивностью при неизвестной интенсивности фона.** Представим функции, описывающие изображение объекта и фона, в виде  $s(\mathbf{r} - \mathbf{V}_0 t) = a_0 s_1(\mathbf{r} - \mathbf{V}_0 t)$ ,  $v(\mathbf{r}) = b_0 v_1(\mathbf{r})$ , где  $a_0 = \max s(\mathbf{r} - \mathbf{V}_0 t)$ ,  $b_0 = \max v(\mathbf{r})$  – истинные значения априори неизвестных интенсивностей изображения объекта и фона;  $s_1(\mathbf{r} - \mathbf{V}_0 t) = s(\mathbf{r} - \mathbf{V}_0 t)/a_0$ ,  $v_1(\mathbf{r}) = v(\mathbf{r})/b_0$ , в результате чего  $\max s_1(\mathbf{r} - \mathbf{V}_0 t) = 1$ ,  $\max v_1(\mathbf{r}) = 1$ . Тогда реализацию наблюдаемых данных можно представить в виде

$$x(\mathbf{r}, t) = a_0 s_1(\mathbf{r} - \mathbf{V}_0 t) I_s(\mathbf{r} - \mathbf{V}_0 t) + b_0 v_1(\mathbf{r}) [1 - I_s(\mathbf{r} - \mathbf{V}_0 t)] + n(\mathbf{r}, t). \quad (15)$$

С целью повышения точности оценки скорости при неизвестных интенсивностях изображения объекта и фона целесообразно одновременно проводить оценку их неизвестных интенсивностей [3, 4, 8]. Заменяя неизвестные интенсивности изображения объекта и фона их оценкой максимального правдоподобия, получаем выражение для логарифма ФОП в случае, когда интенсивности изображения объекта и фона априори неизвестны [3, 4]:

$$L_m(V) = \frac{\left[ \int_0^T \int_{\Omega} x(\mathbf{r}, t) s_1(\mathbf{r} - \mathbf{V}t) I_s(\mathbf{r} - \mathbf{V}t) d\mathbf{r} dt \right]^2}{N_0 \int_0^T \int_{\Omega} s_1^2(\mathbf{r} - \mathbf{V}t) I_s(\mathbf{r} - \mathbf{V}t) d\mathbf{r} dt} +$$

$$+\frac{\left[\int_0^T \int_{\Omega} x(\mathbf{r}, t) v_1(\mathbf{r}) [1 - I_s(\mathbf{r} - \mathbf{V}t)] d\mathbf{r} dt\right]^2}{N_0 \int_0^T \int_{\Omega} v_1^2(\mathbf{r}) [1 - I_s(\mathbf{r} - \mathbf{V}t)] d\mathbf{r} dt} - \frac{\left[\int_0^T \int_{\Omega} x(\mathbf{r}, t) v_1(\mathbf{r}) d\mathbf{r} dt\right]^2}{N_0 \int_0^T \int_{\Omega} v_1^2(\mathbf{r}) d\mathbf{r} dt}, \quad (16)$$

где  $\mathbf{V} = V \mathbf{i}_x$ . При этом ОМП скорости [7, 8]

$$\hat{V} = \arg \sup L_m(V). \quad (17)$$

Положим далее, что объект и фон являются равномерными, т. е.  $s_1(\mathbf{r} - \mathbf{V}t) = 1$ ,  $v_1(\mathbf{r}) = 1$ . Подставляя в (16) реализацию наблюдаемых данных (15),  $L_m(V)$  можно переписать как

$$L_m(V) = \kappa [z(S(V, V_0) - 1/\kappa) + N(V) - \xi/\sqrt{\kappa}]^2 / 2(\kappa - 1), \quad (18)$$

где  $\xi$  – гауссовская случайная величина с нулевым средним значением и единичной дисперсией, причем коэффициент корреляции между случайнм процессом  $N(V)$  и случайной величиной  $\xi$  равен  $R_{N\xi} = \langle N(V)\xi \rangle = 1/\sqrt{\kappa}$ . Здесь  $\kappa = G_\Omega/G_s$  – отношение площади области наблюдения  $\Omega$  к площади изображения объекта ( $\kappa > 1$ ). При этом скорость движения объекта и размеры области наблюдения предполагаются такими, что за время  $T$  объект не покидает область наблюдения, так что  $\kappa \geq \kappa_{\min} = 2m + 1$  [4].

Представим (18) в виде суммы сигнальной и шумовой функций [7, 8], как это сделано в [4]. При  $\Delta = \max(|V_1 - V_0|, |V_2 - V_0|, |V_2 - V_1|) \rightarrow 0$  сигнальная и корреляционная функции шумовой составляющей логарифма ФОП  $L_m(V)$  допускают асимптотические разложения, приведенные в [4]. Используя эти разложения и результаты [8], находим, что надежная ОМП скорости является несмещенной, т. е.  $b_{0ab}(\hat{V} | V_0) = \langle \hat{V} - V_0 \rangle = 0$ , а ее условные значения рассеяния и дисперсии совпадают:

$$B_{0ab}(\hat{V} | V_0) = D_{0ab}(\hat{V} | V_0) = 26(1 + \kappa/z^2(\kappa - 1))^2 G_s^2 / T^2 l_V^2 z^4. \quad (19)$$

Сравнение (8) и (19) показывает, что при равных ОСШ незнание интенсивности изображения объекта приводит к увеличению рассеяния надежной оценки скорости движения в  $(1 + \kappa/z^2(\kappa - 1))^2$  раз. Однако надежная оценка возможна только при достаточно больших значениях  $z$ , так что этот проигрыш невелик.

Если ОСШ не слишком мало, а приведенная длина априорного интервала возможных значений скорости  $m$  достаточно велика, то вероятность надежной оценки  $P_{0ab}$  может быть записана в виде (9), где  $F_N(x)$  и  $F_S(x)$  – функции распределения величин абсолютных максимумов функции  $L_m(V)$  в шумовой и сигнальной подобластиах. Точные выражения для  $F_N(x)$  и  $F_S(x)$  неизвестны, однако в [8, 9] для этих функций получены асимптотические выражения

$$F_N(x) \approx \begin{cases} \exp[-2m\kappa\sqrt{x/\pi}\exp(-x)/(\kappa - 1)], & x \geq 1/2, \\ 0, & x < 1/2, \end{cases} \quad (20)$$

$$F_S(x) \approx \sqrt{\frac{2}{\pi}} \int_0^{\sqrt{2x}} \left[ 1 - \exp\left(\frac{y^2/2-x}{1+\kappa/z^2(\kappa-1)}\right) \right]^2 \times \\ \times \exp\left(-\frac{y^2+z^2(1-1/\kappa)}{2}\right) \operatorname{ch}(zy\sqrt{1-1/\kappa}) dy. \quad (21)$$

Точность аппроксимаций (20), (21) возрастает по мере увеличения  $x, m$  и  $z$ . Подставляя (20) и (21) в (9), находим выражение для вероятности надежной оценки:

$$P_{0ab} = \frac{2}{1+\kappa/z^2(\kappa-1)} \sqrt{\frac{2}{\pi}} \exp\left(-\frac{z^2(\kappa-1)}{2\kappa}\right) \times \\ \times \int_{1/2}^{\infty} \exp\left[-\frac{x}{1+\kappa/z^2(\kappa-1)} - 2\frac{m\kappa}{\kappa-1} \sqrt{\frac{x}{\pi}} \exp(-x)\right] \int_0^{\sqrt{2x}} \exp\left[-\frac{y^2}{2(1+z^2(1-1/\kappa))}\right] \times \\ \times \left\{ 1 - \exp\left[\frac{y^2-2x}{2(1+\kappa/z^2(\kappa-1))}\right] \right\} \operatorname{ch}(zy\sqrt{1-1/\kappa}) dy dx. \quad (22)$$

Из (22) следует, что вероятность надежной оценки  $P_{0ab}$  в рассматриваемом приближении не зависит от истинного значения скорости движения изображения объекта  $V_0$ . При равномерном априорном распределении значений скорости в области  $W$  видим, что оценка скорости является безусловно несмещенной при наличии аномальных ошибок [8], т. е.  $b_{ab}(\hat{V}) = \langle \hat{V} - V_0 \rangle = 0$ , а ее рассеяние определяется выражением

$$B_{ab}(\hat{V}) = \langle (\hat{V} - V_0)^2 \rangle = P_0 B_{0ab}(\hat{V}) + (1 - P_{0ab}) V_{\max}^2 / 6, \quad (23)$$

где  $B_{0ab}(\hat{V})$  – рассеяние надежной оценки скорости (19). Подставляя (19) и (22) в (23), получим безусловное рассеяние оценки скорости с учетом аномальных ошибок:

$$B_{ab}(\hat{V}) = \langle (\hat{V} - V_0)^2 \rangle = B_{\max} (39P_{0ab}(1+\kappa/z^2(\kappa-1))^2 / z^4 m^2 + 1 - P_{0ab}). \quad (24)$$

Формулы (22), (24) являются асимптотически точными при  $z \rightarrow \infty$  и  $m \rightarrow \infty$ .

Характеристики оценки скорости движения изображения объекта с неизвестной интенсивностью при известной интенсивности фона могут быть получены как частный случай из найденных выше выражений. Заменяя неизвестную интенсивность изображения объекта ее ОМП, получаем выражение для логарифма ФОП в виде [3, 8]

$$L_{ma}(V) = \frac{1}{N_0} \int_0^T \int_{\Omega} v^2(r) I_s(r - Vt) dr dt - \frac{2}{N_0} \int_0^T \int_{\Omega} x(r, t) v(r) I_s(r - Vt) dr dt +$$

$$+ \left[ \int_0^T \int_{\Omega} x(\mathbf{r}, t) s_1(\mathbf{r} - \mathbf{V}t) I_s(\mathbf{r} - \mathbf{V}t) d\mathbf{r} dt \right]^2 / N_0 \int_0^T \int_{\Omega} s_1^2(\mathbf{r} - \mathbf{V}t) I_s(\mathbf{r} - \mathbf{V}t) d\mathbf{r} dt, \quad (25)$$

где  $\mathbf{V} = V \mathbf{i}_x$ . При этом ОМП скорости [7, 8]

$$\hat{V} = \arg \sup L_{ma}(V). \quad (26)$$

Положим далее, что объект и фон являются равномерными, а направление движения объекта известно. Подставляя в (25) реализацию наблюдаемых данных (15),  $L_{ma}(V)$  можно представить в виде

$$L_{ma}(V) = [zS(V, V_0) + N(V)]^2 / 2. \quad (27)$$

Как следует из сопоставления логарифмов ФОП (18) и (27),  $L_m(V) \rightarrow L_{ma}(V)$  при  $k \rightarrow \infty$ , т. е. при неограниченном увеличении площади области наблюдения оценка интенсивности фона становится асимптотически точной. Тогда характеристики максимально правдоподобного алгоритма оценки скорости движения изображения объекта с неизвестной интенсивностью при известной интенсивности фона могут быть найдены как пределы выражений (22) и (24) при  $k \rightarrow \infty$ . В результате получаем, что ОМП скорости является несмещенной, а ее безусловное рассеяние с учетом аномальных ошибок определяется выражением

$$B_a(\hat{V}) = B_{\max} (39 P_{0a} (1 + z^{-2})^2 / z^4 m^2 + 1 - P_{0a}), \quad (28)$$

где вероятность надежной оценки

$$P_{0a} = \frac{2z^2}{1+z^2} \sqrt{\frac{2}{\pi}} \exp\left(-\frac{z^2}{2}\right) \int_{1/2}^{\infty} \exp\left[-\frac{xz^2}{1+z^2} - 2m\sqrt{\frac{x}{\pi}} \exp(-x)\right] \times \\ \times \int_0^{\sqrt{2\pi}} \exp\left[\frac{y^2}{2(1+z^2)}\right] \left\{1 - \exp\left[\frac{(y^2 - 2x)z^2}{2(1+z^2)}\right]\right\} \text{ch}(zy) dy dx.$$

**Влияние формы изображения объекта на точность оценки скорости.** В качестве примера найдем рассеяния надежных оценок скорости движения двух объектов, изображения которых представляют собой прямоугольник и эллипс. Положим, что прямоугольник имеет стороны длиной  $l_x$  и  $l_y$ , а эллипс – полуоси длиной  $l_x$  и  $l_y$ . Введем прямоугольную систему координат  $X'Y'$ , направив ось  $X'$  вдоль стороны (полуоси) длиной  $l_x$ , а ось  $Y'$  вдоль стороны (полуоси) длиной  $l_y$ . Найдем зависимости рассеяния надежной оценки скорости от направления движения, которое будем характеризовать углом  $\alpha$  между вектором скорости и осью  $X'$ , а также от отношения длин сторон прямоугольника (полуосей эллипса)  $\psi = l_x/l_y$ .

Для прямоугольного объекта рассеяние надежной оценки скорости движения

$$B_{0R}(\hat{V}) = 26\psi G_s / z^4 T^2 (\cos \alpha + \psi \sin \alpha)^2.$$

Для объекта в форме эллипса рассеяние надежной оценки

$$B_{0E}(\hat{V}) = 13\pi\psi G_s / 2z^4 T^2 (\cos^2 \alpha + \psi^2 \sin^2 \alpha).$$

Можно показать, что минимальное значение рассеяния оценки скорости движения прямоугольного объекта достигается при  $\alpha = \arctg \psi$ , когда объект движется перпендикулярно одной из диагоналей, и равно

$$B_{0R \min}(\hat{V}) = 26\psi G_s / z^4 T^2 (\psi^2 + 1).$$

Минимальное значение рассеяния для эллиптического объекта

$$B_{0E \ min}(\hat{V}) = 13\pi\psi G_s / 2z^4 T^2 \max(1, \psi^2)$$

имеет место при движении объекта вдоль малой полуоси эллипса.

Таким образом, рассеяние оценки минимально, если объект движется в направлении, перпендикулярном максимальному размеру объекта, и максимально, если объект движется в направлении, перпендикулярном минимальному размеру объекта.

Зависимость отношения минимальных рассеяний надежных оценок скорости движения изображений объектов в форме эллипса и прямоугольника  $\gamma = B_{0E \ min}(\hat{V}) / B_{0R \ min}(\hat{V})$  от параметра  $\psi$  при одинаковых площадях объектов  $G_s$ , временах наблюдения  $T$  и ОСШ  $z^2$  показана на рис. 1. Как следует из рисунка, при  $\sqrt{(4 - \pi)/\pi} < \psi < \sqrt{\pi/(4 - \pi)}$  более высокой точностью обладают оценки скорости движения прямоугольника, а при остальных значениях  $\psi$  более высокую точность имеет оценка скорости движения эллипса. В частности, рассеяние надежной оценки скорости движения круглого объекта ( $\psi = 1$ ) в  $\pi/2$  раз больше, чем минимальное рассеяние надежной оценки скорости движения квадратного объекта при одинаковых значениях ОСШ, площадей объектов и времен наблюдения. При неограниченном увеличении одного размера объекта по сравнению с другим (при  $\psi \rightarrow \infty$  или при  $\psi \rightarrow 0$ ) минимальное рассеяние оценки скорости движения эллипса оказывается в  $4/\pi$  раз меньше, чем минимальное рассеяние оценки скорости движения прямоугольника при прочих равных параметрах.

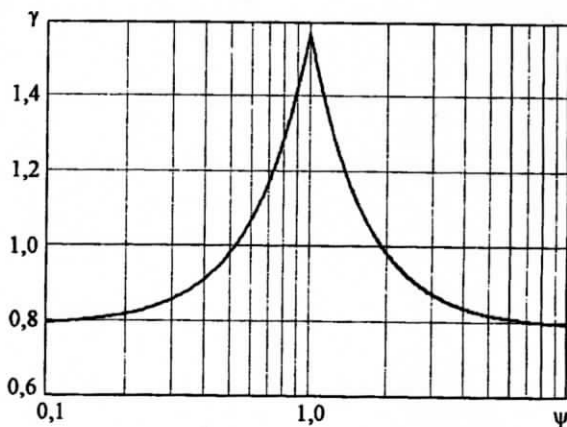


Рис. 1

**Результаты статистического моделирования алгоритмов оценки скорости на ЭВМ.** Для моделирования был выбран объект в форме эллипса с полуосами  $l_x$  и  $l_y$ , движущийся вдоль полуоси  $l_x$ . В процессе моделирования формировались отсчеты случайных процессов  $L(2\eta/\pi\delta) = \Lambda(\eta)$  (4),  $L_m(2\eta/\pi\delta) = \Lambda_m(\eta)$  (18) и  $L_{ma}(2\eta/\pi\delta) = \Lambda_{ma}(\eta)$  (27) на интервале  $\eta \in [-\pi m/4, \pi m/4]$  с шагом дискретизации  $\Delta\eta$ , где  $\delta = T/\pi l_x$ ,  $m = TV_{max}/\pi l_x$  [4]. На основе сформированных дискретных отсчетов реализации случайных процессов  $\Lambda(\eta)$ ,  $\Lambda_m(\eta)$  и  $\Lambda_{ma}(\eta)$  аппроксимировались ступенчатыми функциями [10] с максимальной относительной среднеквадратической погрешностью  $\varepsilon \approx \sqrt{2\Delta\eta/\pi}$  [4]. Для реализованного шага дискретизации  $\Delta\eta = 5 \cdot 10^{-3}$  погрешность  $\varepsilon \leq 0,06$ .

В соответствии с (2), (17), (26) определялись значения  $\hat{\eta}_i$ ,  $\hat{\eta}_i^{(m)}$ ,  $\hat{\eta}_i^{(ma)}$ , при которых достигаются максимальные значения функций  $\Lambda(\eta)$ ,  $\Lambda_m(\eta)$ ,  $\Lambda_{ma}(\eta)$  в  $i$ -й реализации,  $i=1, N_{ex}$ , а истинное значение нормированной скорости  $\eta_{0i} = TV_{0i}/2l_x$  выбиралось случайным и равномерно распределенным в интервале  $[-\pi m/4, \pi m/4]$ . По найденным оценкам  $\hat{\eta}_i$ ,  $\hat{\eta}_i^{(m)}$ ,  $\hat{\eta}_i^{(ma)}$  рассчитывались нормированные рассеяния оценок скорости. Для каждого логарифма ФОП и каждого значения ОСШ  $z$  был реализован объем выборки  $N_{ex} = 10^5$ , так что с вероятностью 0,9 границы доверительных интервалов отклоняются от экспериментальных значений рассеяния не более чем на 15 % при  $B(\hat{V})/B_{max} > 10^{-3}$ .

**Заключение.** Результаты моделирования максимально правдоподобных алгоритмов оценивания скорости движения объекта приведены на рис. 2,  $a - c$ . Здесь показаны зависимости нормированного на максимум безусловного рассеяния оценки скорости от ОСШ  $z$ , рассчитанные по формулам (14), (24) и (28). Рис. 2,  $a$  иллюстрирует случай известных интенсивностей изображения объекта и фона, рис. 2,  $b$  – случай априори неизвестной интенсивности изображения объекта, рис. 2,  $c$  – случай априори-

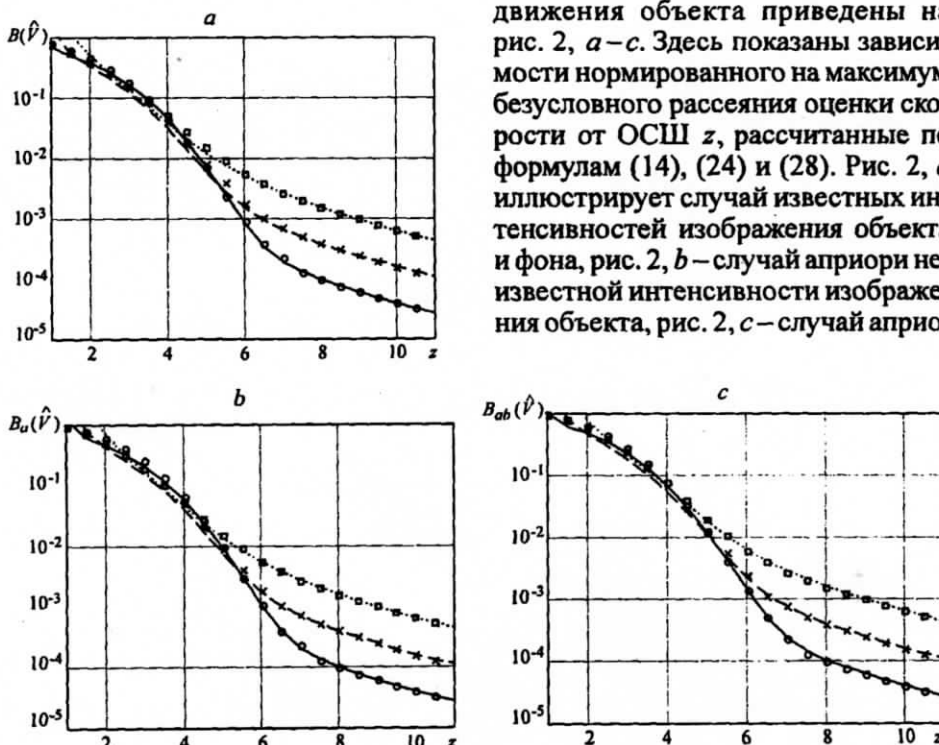


Рис. 2

ри неизвестных интенсивностей изображения объекта и фона. Сплошные линии и кружки соответствуют  $m=10$ , штриховые линии и крестики –  $m=5$ , пунктирные линии и квадратики –  $m=2,5$ . Во всех случаях  $\kappa = \kappa_{\min} = 2m+1$ . Как видно, формулы (14), (24) и (28) удовлетворительно аппроксимируют экспериментальные зависимости уже при  $m \geq 2,5-3,0$  и  $z \geq 1,5-2,0$ .

## СПИСОК ЛИТЕРАТУРЫ

1. Бычков А. А., Понькин В. А. Обнаружение изображений пространственно-протяженных затеняющих фон объектов // Автометрия. 1992. № 4. С. 33.
2. Ефремов В. В., Ковалев Г. С., Лаптев И. В., Понькин В. А. Потенциальные возможности обнаружения и маскирования движущихся объектов на неравномерных фонах // Информационно-измерительные и управляющие системы. 2003. № 4. С. 24.
3. Трифонов А. П., Куцов Р. В. Обнаружение движущегося пространственно протяженного объекта на фоне с неизвестной интенсивностью // Автометрия. 2005. 41, № 1. С. 3.
4. Трифонов А. П., Куцов Р. В. Обнаружение движущегося с произвольной скоростью объекта при неизвестных интенсивностях изображения и фона // Автометрия. 2006. 42, № 4. С. 3.
5. Туринов В. И. К вопросу об измерении скорости удаленных объектов по изменениям положения и размеров оптического изображения // Радиотехника и электроника. 1996. № 5. С. 548.
6. Гнеушев А. Н. Система для оценки скорости транспортных средств по контурным признакам в режиме реального времени // Изв. РАН. Сер. Теория и системы управления. 2005. № 1. С. 133.
7. Куликов Е. И., Трифонов А. П. Оценка параметров сигналов на фоне помех. М.: Сов. радио, 1978.
8. Трифонов А. П., Шинаков Ю. С. Совместное различение сигналов и оценка их параметров на фоне помех. М.: Радио и связь, 1986.
9. Акимов П. С., Бакут П. А., Богданович В. А. и др. Теория обнаружения сигналов /Под ред. П. А. Бакута. М.: Радио и связь, 1984.
10. Быков В. В. Цифровое моделирование в статистической радиотехнике. М.: Сов. радио, 1971.

Поступила в редакцию 27 сентября 2006 г.